

## 15. 空港島建設による底質環境の変化

梅村麻希<sup>1\*</sup>、八木明彦<sup>1</sup>

<sup>1</sup> 愛知工業大学工学研究科（〒470-0392 愛知県豊田市八草町八千草 1427）

\* E-mail:makiumemura@hotmail.co.jp

中部国際空港島は、伊勢湾東部に 2000 年に建設された。底泥の工事影響を明らかにするために、2002 年から 2007 年に調査を行った。底泥は潜水し、アクリルパイプで採泥を行うコア法とした。そして、底泥を約 1cm の厚みに切断し、強熱減量、全炭素、全窒素、全硫黄、全リンについて分析を行った。調査地点付近の堆積速度は  $0.5\text{cm} \cdot \text{year}^{-1}$  であり、2003 年と 2007 年の表層（深度 0-2.5cm）の強熱減量を比較してみると、工事期間を含む 2003 年の値については、浅海域では概ね変化は見られなかつたが、深度が深い地点では約 2 倍程度と顕著に高い値をとつた。このことから、深度のある地点で影響を受け、有機物堆積が生じていることが分かつた。

**Key Words:** Ignition loss, Chubu international airport island, Bottom sediment, Carbon, Sulfur

### 1. はじめに

伊勢湾東岸常滑沖に建設された中部国際空港は、日本海洋学会環境問題委員会<sup>1)</sup>が、その水域が特に優れた漁場であり、伊勢湾の漁業に重大な影響を与えると警告していたが、事業者が行ったアセスメントでは「影響は軽微である」として空港島ならびに対岸（前島）の埋立を実施した<sup>2)</sup>。空港運営後には、空港島付近の観測が愛知県と中部国際空港株式会社にとって行われている<sup>3)4)5)</sup>。

本来、常滑沖は木曽三川の水が海水と混じりながら南下する海域で、空港島の南側はいわばよどみとなる。その水域で操業している潜水漁民から、有用貝類が近年激減している原因の調査を依頼され、海底泥のコア採集を潜水漁民の協力を得て調査を実施した。

### 2. 方法

中部国際空港島と知多半島沿岸にはさまれた海域において、採水と底泥の採取を行つた（調査地点図）。地点は図-1 に示す空港島の東側と南側の水深 5 m 前後の極浅海域 A1（水深 4 m）、A2（3 m）、A3（5 m）、A4（7 m）、空港島水道の水深 10 m 余りの浅海域 B1（11 m）、B2（11 m）、B3（13 m）の 7 地点である。調査時期は 2002 年 2 回、2003 年 3 回の合計 5 回、2004 年 2 回および 2004 年 2 回（空港島より少し北の陸地よりの、当局側の観測点である鬼崎漁港沖の A3 観測点（深さ約 6m）を追加）、漁船を用い潜水漁民の協力を得て行った。化学分析用の底泥採取は潜水漁民により、アクリルパイプ（直径 5.0 cm × 長さ 50 cm）を底泥に打ち込む方法<sup>6)</sup>で行い（1 点 2 本の採泥）、1-2.5 cm 間隔で深度 15 cm まで切断し、分析に供した。I.L.（強熱減量）は 650°C 強熱減量を、全炭

### 3. 結果及び考察

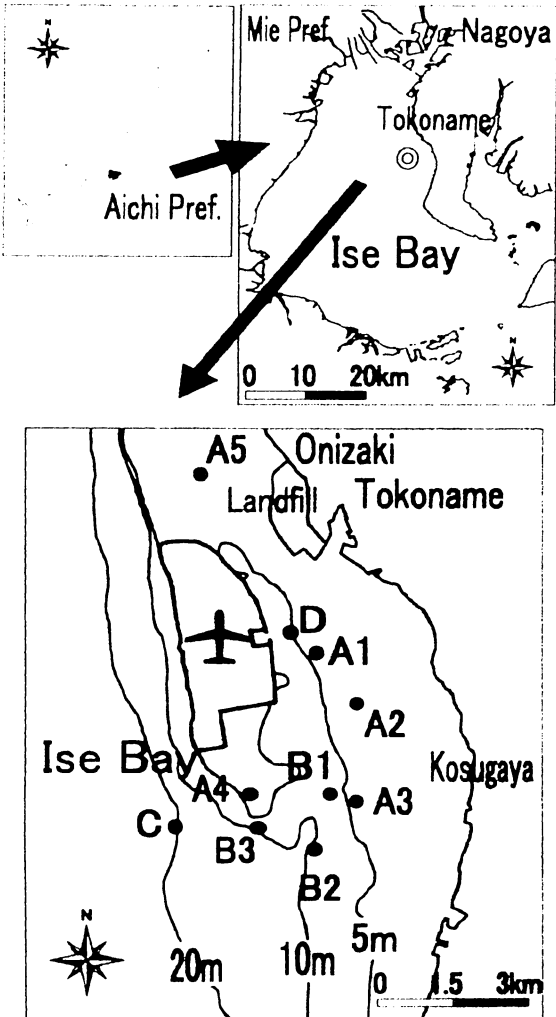


図-1 調査地点図

素(C)・全窒素(N)、全イオウ(S)は元素分析機で定量した。粒度はふるい法(最小粒径はGF/Fで採集)で求め、6分画( $75\mu\text{m}$ 以下、 $75\text{--}125\mu\text{m}$ 、 $125\text{--}500\mu\text{m}$ 、 $500\mu\text{m}\text{--}2\text{mm}$ 、 $2\text{--}4\text{mm}$ )とした。

これまでに、伊勢湾内10カ所において堆積物中の $^{210}\text{Pb}$ によって鉛直分布を測定し、堆積速度は $0.06\text{--}0.76\text{ g cm}^{-2}\text{ yr}^{-1}$ との報告がある<sup>7)</sup>。本調査地点であるA10の平均堆積速度は東海大・加藤久義教授によつて、 $0.50\text{ cm yr}^{-1}$  ( $0.53\text{ g cm}^{-2}\text{ yr}^{-1}$ )であることが得られた。そのため、年々の時間スケールで環境変化を明らかにしようとするならば、底泥のコアサンプルは少なくとも $1\text{ cm}$ 程度の厚みで分析を行う必要を考慮して行った。

#### (1)粒度分布

有機物含量が高いB1、B2、B3は粒度分布のシルト、粘土画分がいずれもB1で39~40%、B2は31~41%、B3では20~28%と高く、また、B2とB3は極表面0~1cmがこの画分が大きく、1~2cm→2~3cmと小さくなる傾向が明瞭に認められた(表-1)。さらに、A1については浅いにもかかわらずシルト、粘土画分も11~13%と比較的大きく、水が停滞しやすいことが示唆された。

#### (2)強熱減量・炭素・窒素・リン・硫黄

炭素と窒素比(C/N)について、2004年9月~2005年10月の極表層(0~1cm)の結果について平均値で見ると、10以上の地点はB2(11)、B3(13)、A4(16)で、7以下の地点はA2(7)、A1(6)となり、その中間はB1(9)、A11(9)であった。このことから、深度の深い地点(B2、B3)と極浅海域の地点であるA4において分解が進行していると考えられ、深度の浅い地点は比較的に新しい堆積物の影響が強く、B1、A2はその中間であることが示唆された。一方、C/Nの値について、2004年9月と2005年7月の結果を考察すると、極表層の0~1cm層とそれ以下の下層の値で、明瞭な差が認められ、極表のC/Nの方が小さくなっている。これは、台風による攪乱によつてもすぐに内部生産による堆積物が極表層にすぐに沈積し影響が現れていることを示唆していると考えられる。また、このC/Nの鉛直分布から判断し、成層構造が認められる地点は、B1、B2、B3、A3、A4であり、A1とA2の沿岸に近く、かつ、浅い地点で堆積層の攪乱(約0から7cm)が生じていたと推定された。ここでは貧酸素状態を考える上で特に重要な、全硫黄についてのみ述べる。深度も深く、強熱減量も大きいB1、B2及びB3はいずれも全硫黄も高く、最大値が約 $1\text{--}5\text{ mg g}^{-1}$ で、また0~2cmの極表面層では、表面に近いほど高くなる傾向が認められた。

さらに、比較的浅いA4においても全硫黄の値は $0.3\text{--}0.7\text{ mg g}^{-1}$ 程度測定され、底泥が硫化水素臭を示すことと一致していた。なお、2005年7月に

は、調査海域が赤潮に覆われていたが、試料を実験室に持ち帰って約半日（12時間程度）後、すべての観測点の底泥の柱状試料が黒色に変わり、著しい還元状態にあることを示していた。

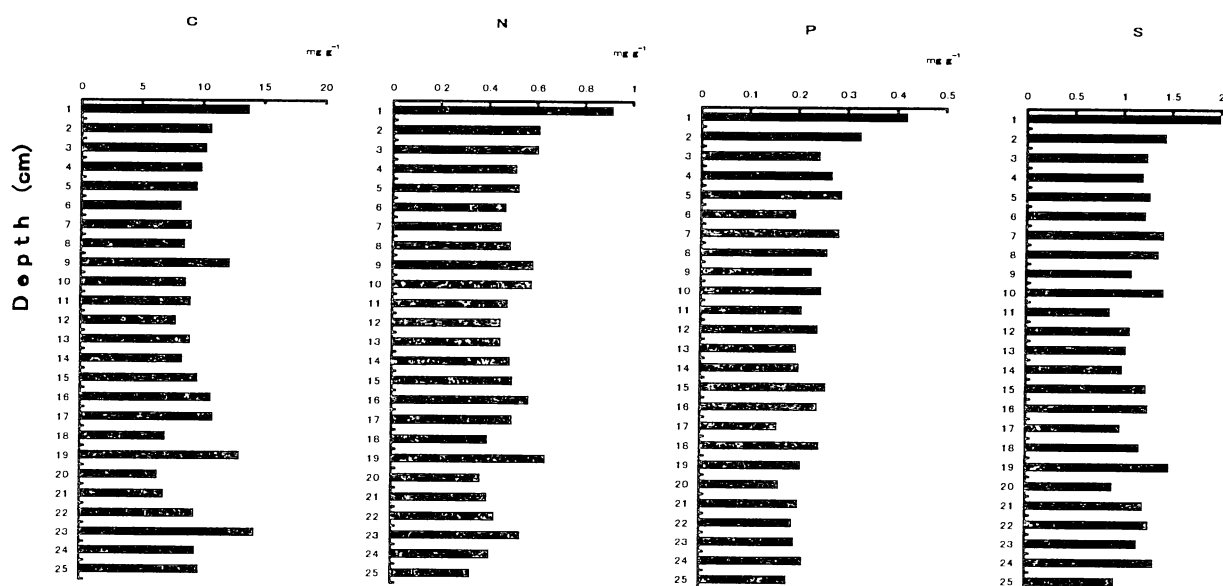
### (3) 底泥攪乱について

底泥の年代測定ならびに柱状試料の層別の化学分析などのデータから空港島関連工事の周辺水域への影響やその後の変化などを考えるために、海底上部の海水の動きにより底泥がどの程度攪乱されるか、という問題は極めて重要である。そのため、最も極端なケースと言える台風が10個も上陸して著し

く攪乱されたと考えられる2004年と、それ以前に底泥表層から1cmごとに分析してある年代測定のために採取した2003年3月のB3地点（深度13m）のデータを比較してみる。後者は図-2に示すように、炭素量をはじめ、ほぼ4成分とも、表層で最も高い値を示し、3～5cmの層まで、ゆるやかに減少する傾向を示している。このような底泥の表層付近で有機物量が最も高く、深くなるにつれてある深度まで低下する傾向を示すことは、湖の堆積物の柱状試料の研究等でも、一般に見られる現象で、水底表面に沈積した有機物がバクテリア等により急速に分解されるためと考えられる。なお、この化学

表・1 各地点の粒度画分

station	depth (cm)	75 $\mu\text{m}$ >	75–125 $\mu\text{m}$	125–500 $\mu\text{m}$	500 $\mu\text{m}$ –2mm	2–4mm	>4mm
A1	0–1	4.52	5.89	87.50	2.10	0.00	0.00
	1–2	5.75	7.17	85.47	1.30	0.32	0.00
	2–3	6.34	4.81	85.64	2.82	0.39	0.00
A2	0–1	2.72	0.87	92.07	3.04	0.74	0.56
	1–2	3.11	0.88	90.72	3.36	0.37	1.57
	2–3	2.96	0.95	90.50	4.92	0.68	0.00
A3	0–1	3.13	2.11	79.92	14.84	0.00	0.00
	1–2	2.69	1.30	75.15	20.40	0.45	0.00
	2–3	2.95	1.37	72.91	20.92	1.86	0.00
A4	0–1	1.80	0.30	85.89	11.16	0.86	0.00
	1–2	1.76	0.00	83.18	13.93	0.54	0.59
	2–3	1.77	0.00	82.41	13.32	2.50	0.00
B1	0–1	30.21	9.06	44.80	8.30	3.59	4.05
	1–2	24.10	10.48	50.60	9.24	4.81	0.77
	2–3	26.97	13.73	45.55	6.66	3.43	3.66
B2	0–1	38.29	7.73	35.33	14.14	1.75	2.75
	1–2	22.66	12.11	49.92	12.80	1.96	0.55
	2–3	18.66	12.29	47.83	12.86	2.31	6.04
B3	0–1	16.87	11.88	66.76	3.43	0.73	0.33
	1–2	14.22	9.78	70.17	3.70	1.69	0.44
	2–3	13.94	6.40	73.72	3.22	1.63	1.09



図・2 B3 地点の全炭素・全窒素・全リン・全硫黄

分析の場合は、試料が限られていたため、今後の考察の基礎となる強熱減量は測定していなかった。しかし、有機物量の増減を考察するために、炭素量を用いても常識的に差し支えない。

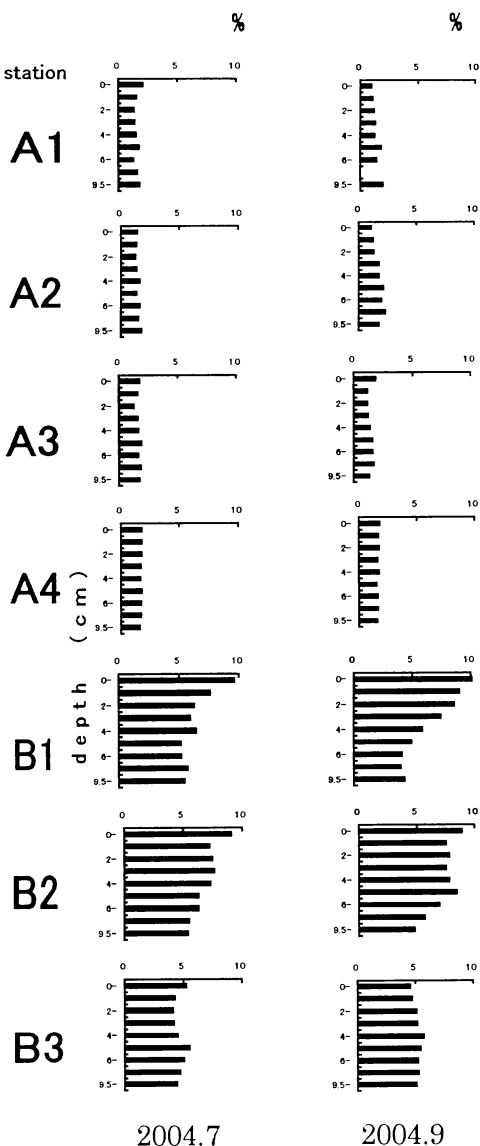
2004年7月4日の観測の前には、台風4号(6月11日)および6号(6月21日)が来襲し、いずれも伊勢湾の西方を通過しているから、相当の影響を与えたと考えられる。その後、9月11日の観測も前に、11号(8月4日)と16号(8月29日)が来襲しており、これらも伊勢湾の西北を通過して、この海域にかなりの影響を与えたと思われる。なお、その後も、この海域に影響を与えたと考えら

月29日)、22号(10月9日)及び23号(10月20日)の4個が来襲している。

まず、2004年7月4日の観測は、上述のごとく、既に2回も台風が来て相当攪拌された後であった。陸地に近い水深5m以浅のA1、A2、A3の3点について見ると、7月には、A1とA3では12cmの深さの層まで、一様に混合されており、強熱減量は1.5~2%程度の低い値を示し、A2でも6cmの深さまで混合され、約1.5%であった。但し、A1では表層の0~1cmのみ2.2%とわずかに高い値が認められたが、これは台風来襲後の短時間に堆積した有機物によると考えられる。

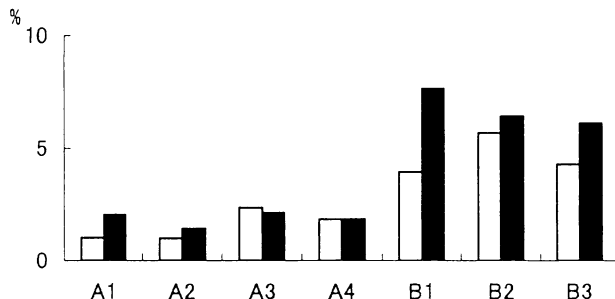
一方、水深10m以深のB1、B2、B3の3点を見ると、B1では底泥の5cm層から浅くなるにつれて高い値を示し、成層が顕著で攪乱されておらず、特に極表層の0~1cm層は10%を超え、有機物の堆積が著しかったことが明らかであった。B2では0cmから3~4cmまでの混合が見られるが、この層の有機物量は、それより深い層よりも高い傾向があり、ここでも有機物の沈積があったと考えられる。最も深いB3でも1~4cm層は混合されており、4.1%程度の値で、5~6cm層は5.8%と極大値を示し、その下は12cmまで徐々に低下して4.3%になった。このように10m以深の点でも、B1のように攪乱されない場合もあったが、台風の影響で底泥表層から4~5cmまでは攪拌・混合されたといえる。

9月11日の観測は、さらに2回の台風が来た後であったが、A1の0~3cm層の強熱減量は1.2%と非常に低く、海水の動きで攪乱、流失されたものと思われる。A3は極表面の0~1cmのみ1.5%と高い有機物沈殿が見られたが、これより深い層は7月とほぼ同様の値を示し、攪乱されたままであった。B3も同様に4~5cmで極大値5.8%が見られ、約4cmまでの混合が認められた。しかし、7月に認められた表層のみの若干高い値は、9月にもA2、A3で観測された。9月には2~5cm層はほぼ一様で、攪乱されていたと推定されるが、表層0~2cm層で5~10%という高い値が見られ、ごく短い期間に多量の有機物の堆積が行われたと示唆される。



図・3 各地点の強熱減量鉛直分布

れる台風として、16号(8月29日)、21号(9



図・4 表層(深度 0-2.5cm)の強熱減量の 2003 年と 2007 年の比較

なお、空港南の A4 は、水深 6.3 m であるが、既に述べたように海水の動きの影響を受けやすい位置にあるため、7月、9月とも 1.8~1.9% と有機物も少なく、表層から 12 cm まで、よく混合されていた。これは海底が上に凸の形状であるため、新生堆積物が他へ流され易いためであると考えられる。

以上述べたように、2004 年の観測前 1 ヶ月以内に台風により 2 回も攪拌された 7 月の観測の際は、陸地に近く、水深 5 m 以浅の 3 点では、2 点で深さ 12 cm まで、1 点で 6 cm まで混合されていた。また、以上のごとく、2004 年のように特に台風襲来の多い年でも、陸地に近い極浅い観測点では深さ 10 cm 以上も底泥が攪拌されたが、水深 10 m 以上の観測点では海底表層から 4 cm くらいの深さまでしか攪拌されなかった。したがって、年代測定により堆積速度が年に約 0.5 cm と推定されている以上、空港建設工事に伴う周辺水域の海底環境の変化を底質からるために、毎回、採泥器で約 10 cm の深さまで試料を採取し、それをよく混合してから分析している事業者側の手法では、10 年足らずの間の変化が把握できないことは明らかである。

#### (4) 工事前後の強熱減量の比較

各地点の表層(深度 0-2.5cm)での 2003 年と 2007 年の強熱減量の値を比較した(図-4)。年代測定の結果から、約 5 年分に相当する層であるといえる。すなわち、2003 年時の値は 1999 年から 2003 年に相当し、2007 年の値は 2003 年から 2007 年の値に相当する。深度のある B1、B2、B3 地点では 2003 年の値が顕著に高く、2007 年の値に対して平均すると 150% の値、極浅海域

の A2、A3、A4 では、112% の値、TS4 では深度が浅いが、190% の値をとっている。空港島の建設工事は、2000 年 11 月に開始されたことから、建設時の底泥への影響は、特に深度の深い場所で顕著に現れていることがわかった。このように、A4 のように海底が凸の形状をとる場所や、A1 のように極浅海域においても、影響が認められたことからも、底泥汚濁の進行は明らかとなつた。

**謝辞:**本研究では、2002-2003 年にプロナトウーラ・ファンド第 13 期、2006-2007 年には住友財團の研究助成を受けた。この調査では日間賀島漁業組合の潜水漁民の方々に、底泥のサンプリングに際して多大なご協力を頂いたので、深く感謝申し上げる。

#### 参考文献

- 1) 日本海洋学会海洋環境問題委員会 (1999): 閉鎖性水域の環境影響評価に関する見解—中部国際空港人工島建設の場合. 海の研究, 8(5), 349-357.
- 2) 中部国際空港株式会社・愛知県 (1998) : 中部国際空港建設事業及び空港島地域開発用地埋立て造成事業に関する環境影響評価準備書(要約書), 269pp.
- 3) 中部国際空港株式会社・愛知県 (2003) : 中部国際空港建設事業及び空港島地域開発用地埋立て造成事業並びに空港対岸部埋立て造成事業に係わる平成 14 年度環境監視結果年報, 442pp.
- 4) 中部国際空港株式会社・愛知県 (2004) : 中部国際空港建設事業及び空港島地域開発用地埋立て造成事業並びに空港対岸部埋立て造成事業に係わる平成 15 年度環境監視結果年報, 426pp.
- 5) 中部国際空港株式会社・愛知県 (2005) : 中部国際空港建設事業及び空港島地域開発用地埋立て造成事業並びに空港対岸部埋立て造成事業に係わる平成 16 年度環境監視結果年報, 464pp.
- 6) 環境庁水質保全局 (1997) : 海洋環境モニタリング指針、財団法人日本海環境協力センター, 136pp.
- 7) Lu, X. and E. Matsumoto (2005): Recent sedimentation rates derived from  $^{210}\text{Pb}$  and

<sup>137</sup>Cs methods in Ise Bay, Japan. *Estuarine,  
Coast. Shelf Sci.*, 65, 83-93.

(受付)